

УДК 536.2.

## КРИТЕРИАЛЬНОЕ УРАВНЕНИЕ ДЛЯ ПЛАСТИНЧАТОГО ТЕПЛООБМЕННИКА С КАНАЛАМИ БЕЗ ТУРБУЛИЗАТОРОВ

Улитенко А.И., Фефелов А.А.

*Рязанский государственный радиотехнический университет, Рязань*

Подробная информация об авторах размещена на сайте

«Учёные России» - <http://www.famous-scientists.ru>

**Приводятся результаты моделирования тепловых процессов в теплообменном аппарате с гладкими каналами щелевого типа, работающем по схеме противотока в условиях ламинарного режима течения теплоносителя при различных соотношениях ширины и длины каналов. Дается критериальное соотношение, полученное в результате обработки более 800 различных вариантов групп параметров  $Re$ ,  $Nu$  и  $Pr$  для каналов с горячим и холодным теплоносителем. Моделирование проводилось при различных отношениях массовых расходов теплоносителей с учетом зависимости их тепло физических параметров от температуры.**

### Введение

Практика применения пластинчатых теплообменников выявила наличие проблемы, связанной с образованием отложений, которые из-за низкого коэффициента теплопроводности ухудшают условия теплоотдачи в каналах. Использование при изготовлении пластин теплообменника высококачественных марок сталей, тщательная обработка поверхностей теплообмена и выполнение на пластинах искусственных турбулизаторов – гофров – позволили наряду с обеспечением высокой эффективности теплоотдачи добиться снижения скорости образования отложений в каналах. Тем не менее, отмеченная выше проблема остается, что подтверждают многочисленные исследования, направленные на разработку методов очистки поверхностей теплообмена от загрязнений, без выполнения разборки теплообменника (если таковая вообще предусмотрена конструкцией).

В [1] была показана возможность осуществления эффективного охлаждения теплоносителя в теплообменниках с плоскими гладкими каналами и зазором до  $1\div1,5$  мм. При этом количество герметизирующих прокладок в конструкции теплообменника сокращено до минимума, что в сочетании с гладкой поверхностью без

турбулизаторов существенно облегчает и ускоряет процедуру очистки.

В данной статье приводятся результаты моделирования ламинарного течения теплоносителя в теплообменнике с прямыми каналами щелевого типа без турбулизаторов, работающем по схеме противотока. Моделирование проводилось с учетом зависимости физических параметров теплоносителей от температуры и изменения плотности теплового потока вдоль поверхности теплообмена. Данные численного моделирования обобщены в критериальное соотношение, в котором при определении параметра Нуссельта  $Nu$ , использовалось среднеинтегральное значение коэффициента теплоотдачи  $\alpha$ , рассчитанное на основе известного из результатов моделирования распределения  $\alpha$  вдоль поверхности теплообмена

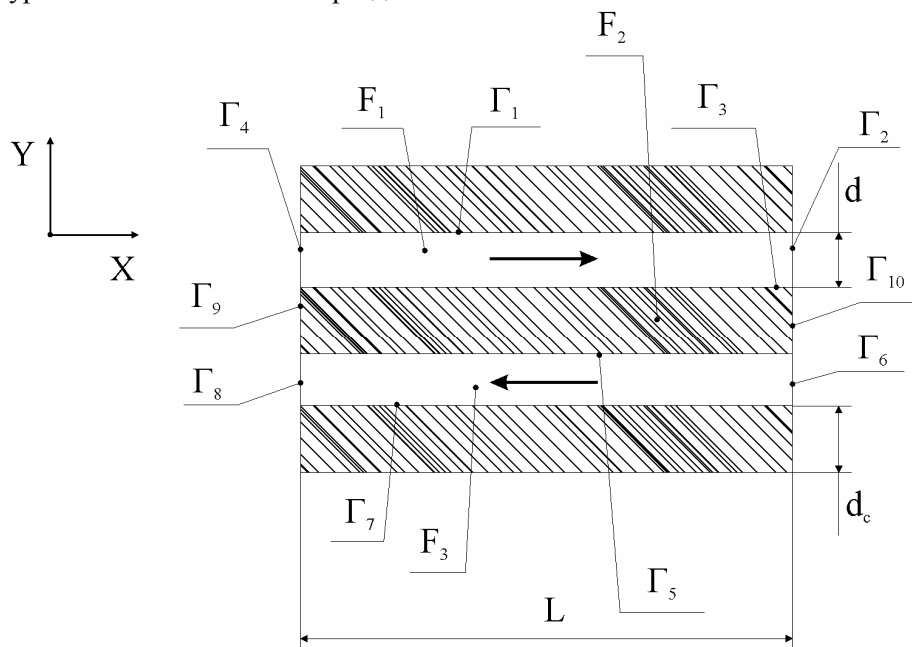
### 1. Постановка задачи

На рис.1 схематично показана часть конструкции теплообменника. Расположение каналов и перегородок в теплообменнике периодично, что позволяет использовать в качестве расчетной области элемент конструкции «канал – перегородка – канал». Математическая формулировка тепловой задачи при этом имеет вид системы дифференциальных уравнений [2], [3]

$$\begin{cases} \rho c_p \left( \omega_x \frac{\partial T}{\partial x} + \omega_y \frac{\partial T}{\partial y} \right) = \frac{\partial}{\partial x} \left( \lambda \frac{\partial T}{\partial x} \right) + \frac{\partial}{\partial y} \left( \lambda \frac{\partial T}{\partial y} \right) \\ \frac{\partial}{\partial x} \left( \lambda_c \frac{\partial T}{\partial x} \right) + \frac{\partial}{\partial y} \left( \lambda_c \frac{\partial T}{\partial y} \right) = 0 \\ \rho \left( \omega_x \frac{\partial \omega_x}{\partial x} + \omega_y \frac{\partial \omega_x}{\partial y} \right) = - \frac{\partial P}{\partial x} + \frac{\partial}{\partial x} \left[ 2\mu \frac{\partial \omega_x}{\partial x} \right] + \frac{\partial}{\partial y} \left[ \mu \left( \frac{\partial \omega_x}{\partial y} + \frac{\partial \omega_y}{\partial x} \right) \right] + f_x, \\ \rho \left( \omega_x \frac{\partial \omega_y}{\partial x} + \omega_y \frac{\partial \omega_y}{\partial y} \right) = - \frac{\partial P}{\partial y} + \frac{\partial}{\partial y} \left[ 2\mu \frac{\partial \omega_y}{\partial y} \right] + \frac{\partial}{\partial x} \left[ \mu \left( \frac{\partial \omega_x}{\partial y} + \frac{\partial \omega_y}{\partial x} \right) \right] + f_y \\ \frac{\partial \omega_x}{\partial x} + \frac{\partial \omega_y}{\partial y} = 0 \end{cases}$$

где  $\rho$ ,  $c_p$ ,  $\lambda$ ,  $\mu$  - плотность, удельная теплоемкость при постоянном давлении, теплопроводность и вязкость теплоносителя;  $\lambda_c$  - теплопроводность стенки;  $P$  - давление;  $f_x$ ,  $f_y$  - составляющие массовых сил;  $T$ ,  $T_c$  - температуры теплоносителя и раздели-

тельной перегородки;  $\omega_x$ ,  $\omega_y$  - компоненты скорости;  $\Delta = \frac{\partial^2}{\partial x^2} + \frac{\partial^2}{\partial y^2}$  - оператор Лапласа.



**Рис. 1.** Схематичное изображение элемента теплообменника, выполненного по схеме противотока  
F1, F3 – каналы; F2 – перегородка; Г1-Г10 – границы расчетных областей; d, dc - поперечные размеры канала и стенки; L – длина теплообменника.

Граничные условия для температуры:

- 1) первого рода на границах  $\Gamma_4$  и  $\Gamma_6$ ;
- 2)  $\frac{\partial T}{\partial n} = 0$  на границах  $\Gamma_2$ ,  $\Gamma_8$ ,  $\Gamma_9$ ,

$\Gamma_{10}$ , где  $\frac{\partial T}{\partial n}$  - нормальная производная к границе;

$$3) \begin{cases} \lambda \left( \frac{\partial T}{\partial n} \right) = \lambda_c \left( \frac{\partial T}{\partial n} \right)_c & \text{на границах } \Gamma_1, \Gamma_3, \Gamma_5 \text{ и } \Gamma_7. \\ T = T_c & \end{cases}$$

Индекс «*c*» указывает на принадлежность к стенке теплообменника.

Границные условия для скорости:

- 1) на границах  $\Gamma_1$ ,  $\Gamma_3$ ,  $\Gamma_5$  и  $\Gamma_7$   
 $\omega_x = \omega_y = 0$ ;
- 2) на границах  $\Gamma_4$  и  $\Gamma_6$   $\omega_y = 0$ ,  $\omega_x = \omega_0$ , где  $\omega_0$  – скорость теплоносителя на входе в соответствующий канал;
- 3) на границах  $\Gamma_2$  и  $\Gamma_8$   

$$\frac{\partial \omega_x}{\partial x} = \frac{\partial \omega_y}{\partial y} = 0.$$

В ходе моделирования варьировались:

- 1) температуры теплоносителей на входах в каналы (от 20°C до 80°C);
- 2) массовые расходы теплоносителей через каналы в диапазоне, обеспечивающем ламинарный режим течения ( $Re < 2000$ );
- 3) геометрические размеры  $d$ ,  $d_c$  и  $L$  теплообменника.

Всего было осуществлено более 800 комбинаций параметров. В качестве теплоносителя для обоих каналов использовались различные широко распространенные теплоносители, начиная с воды и заканчивая трансформаторным маслом при их различных сочетаниях (например «горячий» канал – вода, «холодный» канал – вода; «горячий» канал – масло, «холодный» канал – вода, и т.д.). В качестве материала стенок теплообменника использовались нержавеющая сталь ( $\lambda = 18$  Вт/м·К),

$$\alpha_{лок} = \frac{\lambda \left( \frac{\partial T}{\partial n} \right)_*}{(T_* - T_c)}$$

определить значение локального коэффициента теплоотдачи. Здесь  $T_*$  – среднемассовая температура жидкости в рассматриваемом сечении,  $T_c$  – температура стенки в этом же сечении,  $\left( \frac{\partial T}{\partial n} \right)_*$  – нормальная к

поверхности теплообмена производная от температуры, взятая со стороны теплоносителя. Таким образом, значение  $\alpha$ , входящее в параметр Нуссельта  $Nu$  определяется более точно. В число  $Nu$  входит коэффициент теплопроводности  $\lambda$  теплоносителя, также зависящий от температуры.

титан ( $\lambda = 22$  Вт/м·К), медь ( $\lambda = 400$  Вт/м·К). При расчетах учитывались зависимости физических параметров сред от температуры (данные взяты из [3]). В процессе численного моделирования рассчитывались поля температур в каналах и стенке теплообменника, поля компонент скоростей  $\omega_x$  и  $\omega_y$  в каналах, значения среднемассовой температуры в поперечных сечениях каналов (в том числе и в выходных сечениях). Необходимо было сделать обобщение полученных данных путем расчета параметров подобия  $Re$ ,  $Nu$ ,  $Pr$  с целью выявления возможно присущих закономерностей их взаимного поведения.

## 2. Анализ

Численное моделирование позволяет получить полную информацию о характере распределения температуры, как в теплоносителе, так и по всей поверхности теплообмена. При этом для рассматриваемой поверхности теплообмена может быть определено *среднеинтегральное* значение  $\alpha$  на основе предварительно рассчитанного распределения локального коэффициента теплоотдачи  $\alpha_{лок}$  вдоль этой поверхности. По полученным в результате численного моделирования полям температур и скоростей в каналах теплообменника, а также полю температур в разделяющей их стенке можно в любом сечении канала по формуле [3]

Однако зависимость  $\lambda = f(T)$  обычно не слишком существенна, поэтому расчет  $\lambda$  можно провести по значению средней среднемассовой температуры теплоносителя  $\bar{T}_*$  в канале.

Расчет параметров Рейнольдса  $Re$  и Прандтля  $Pr$  производился по значениям  $\bar{T}_*$ . При этом средние температуры жидкостей  $\bar{T}_*$  и стенки  $\bar{T}_c$  определялись исходя из формул

$$T_r = T_{r,1} - \frac{(T_{r,1} - T_{x,2})}{c_r \dot{m}_{r,0} \gamma} \left[ 1 - \exp\left(-\frac{\gamma(KF)_0}{L} x\right) \right],$$

$$T_x = T_{x,2} - \frac{(T_{r,1} - T_{x,2})}{c_x \dot{m}_x \gamma} \left[ 1 - \exp\left(-\frac{\gamma(KF)_0}{L} x\right) \right],$$

$$T_c = \frac{\lambda_r T_{r,1} + \lambda_x T_{x,2}}{\lambda_r + \lambda_x} - \frac{T_{r,1} - T_{x,2}}{\gamma(\lambda_r + \lambda_x)} \left( \frac{\lambda_r}{c_r \dot{m}_{r,0}} + \frac{\lambda_x}{c_x \dot{m}_x} \right) \left[ 1 - \exp\left(-\frac{\gamma(KF)_0}{L} x\right) \right]$$

на основе определения среднего значения величины

$$\bar{f} = \frac{1}{b-a} \int_a^b f(x) dx.$$

Индексы «г» и «х» относятся к горячему и холодному теплоносителям соответственно,  $\lambda$  – теплопроводность тепло-

носителя, взятая при  $T = T_\infty$ ,  $\dot{m}_{r,0}$ ,  $\dot{m}_x$  – массовые расходы теплоносителей,

$$\gamma = \frac{1}{c_r \dot{m}_{r,0}} - \frac{1}{c_x \dot{m}_x},$$

$K$  – коэффициент теплопередачи,  $F$  – площадь поверхности теплообмена.

### 3. Численное моделирование конвективного теплообмена в теплообменнике

Предварительное моделирование показало, что при отношении параметра

$$\left( \frac{L_{ht}}{L} \right) > 1, \text{ где } L_{ht} = 0,05 d_{\text{экв}} \text{ Re} \text{Pr} -$$

длина начального теплового участка,  $L$  – длина канала теплообменника, теплооб-

менник работает не в оптимальном режиме (имеет место недоохлаждение теплоносителя). Поэтому, из практических соображений дальнейшее моделирование проводилось таким образом, чтобы обеспечить условие  $\left( \frac{L_{ht}}{L} \right) > 1$ .

Аппроксимирующая зависимость параметра Нуссельта  $Nu$  от параметров  $Re$  и  $Pr$  отыскивалась в виде

$$Nu_{\text{аппр}} = \sum_n C_n X^n,$$

где

$$X = \left( \frac{d}{L} \right)^p \text{Re}^m \text{Pr}^n \left( \frac{\text{Pr}_\infty}{\text{Pr}_c} \right)^k.$$

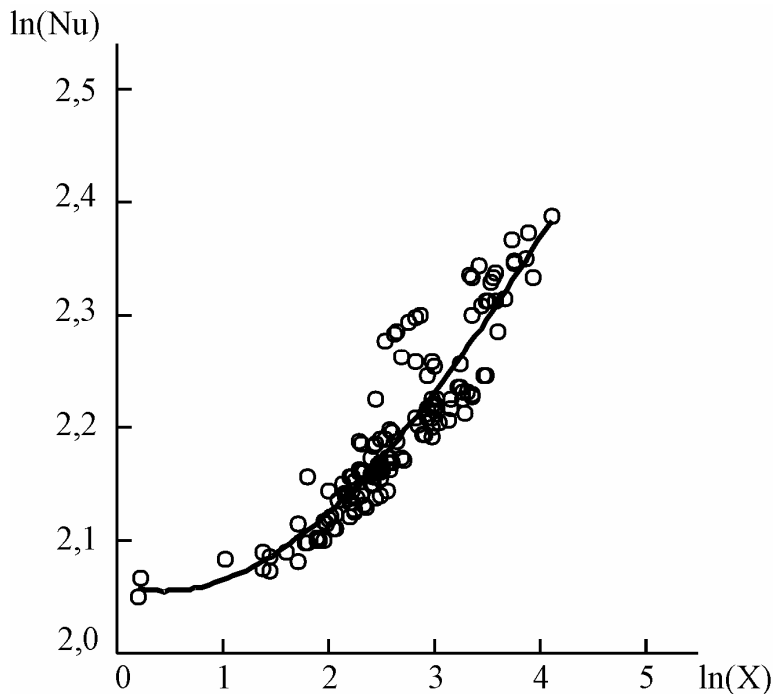
При этом для определения коэффициентов разложения  $C_n$  и показателей степеней  $p$ ,  $m$  и  $k$  осуществлялся поиск минимума функции ошибки

$$\epsilon = \frac{Nu_p - Nu_{\text{аппр}}}{Nu_p},$$

где  $Nu_p$  – значение параметра, полученное при моделировании.

Результаты обработанных таким образом данных для чисел  $Re$  от 10 до 2000 и  $Pr$  от 3 до 450 представлены на рис.2. Точками отмечены значения  $\ln(Nu)$ , полученные в ходе численного моделирования.

Длина каналов  $L$  варьировалась в диапазоне от 300 до 2000 мм. Высота канала  $d$  изменялась в диапазоне от 1 до 3 мм. Отношение массовых расходов менялось от  $\left( \frac{\dot{m}_r}{\dot{m}_x} \right) = 1$  до  $\left( \frac{\dot{m}_r}{\dot{m}_x} \right) = 3$ .



**Рис. 2.** Зависимость  $\ln(\text{Nu})$  от  $\ln(X)$

#### 4. Анализ полученных результатов

##### Выводы

Обработка приведенных данных путем аппроксимации методом наименьших квадратов позволяет построить линию аппроксимации по уравнению

$$\text{Nu}_{\text{аппр}} = 7,58 + 1,25 \cdot 10^{-1} X - 2,19 \cdot 10^{-3} X^2$$

,

$$X = \left( \frac{d}{L} \right)^{0,24} \text{Re}^{0,55} \text{Pr}^{0,41} \left( \frac{\text{Pr}_{\text{ж}}}{\text{Pr}_{\text{c}}} \right)^2$$

с погрешностью аппроксимации в основном не хуже 6% (на рис.2 кривая аппроксимации изображена сплошной линией).

##### СПИСОК ЛИТЕРАТУРЫ:

1. Улитенко А.И., Пушкин В.А. Устройство для охлаждения молока. Патент РФ № 2233582 C1 7 A 01 J 9/04, F 25 B 3/00, F 28 D 3/00, 7/00.
2. Себиси Т., Брэдшоу П. Конвективный теплообмен. Физические основы и вычислительные методы: Пер. с англ. – М.: Мир, 1987. – 592 с., ил.
3. Михеев М.А., Михеева И.М. Основы теплопередачи. Изд. 2-е, стереотип. М., «Энергия», 1977. – 344 с., ил.

#### THE CRITERIAL EQUATION FOR PLATE-TYPE HEAT EXCHANGER WITH CHANNELS WITHOUT TURBULENCE PROMOTERS

Ulitenko A.I., Fefelov A.A.

*The Ryazan state radio engineering university, Ryazan*

Results of modelling of thermal processes in heat exchange apparatus with smooth channels of the slot-hole type, working under the scheme of a countercurrent in conditions of a laminar mode of current of the heat-carrier are resulted at various ratio of width and lengths of channels. It is given criterial equation received as a result of processing more of 800 various variants of groups of parameters Re, Nu and Pr for channels with the hot and cold heat-carrier. Modelling was spent at various relations of mass charges of heat-carriers in view of dependence of their warmly physical parameters on temperature.